

スライディングモード制御を用いた Control Moment Gyroscope の目標値追従制御

2014SC031 河瀬慎太郎

指導教員：高見勲

1 はじめに

Control Moment Gyroscope(以下,CMG) は, 入力よりも出力の数が多い劣駆動システムである.CMG の中でも, 中心に取り付けられた回転速度が可変のホイールと, ホイールの外側に取り付けられた 2 つのジンバルで構成される CMG を可変速 2 軸ジンバル CMG(VSDGCMG) といい, 1 台用いることで宇宙機を 3 軸制御できる [1]. しかし, VSDGCMG の制御は, 非線形システムが複雑であり, 特異点が存在するなどの問題がある. このようなシステムに対し, 先行研究ではスライディングモード制御を用い, Gimbal3 を固定した状態で Gimbal2 と Gimbal4 の制御をおこなっている [2]. 本研究では, VSDGCMG の制御で問題となる, 複雑な非線形システムにスライディングモード制御を用いて制御器の設計をおこない, Gimbal2 を可動域で回転させ, Gimbal3 と Gimbal4 を制御する. そして, 実験により理論の有用性を検証する.

2 モデリング

図 1 に CMG の概略図を示す.

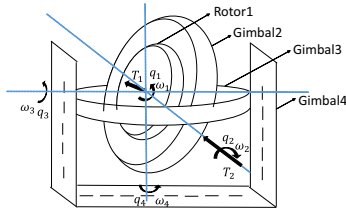


図 1 CMG 概略図

Rotor1 のモータのトルクを T_1 [Nm], Gimbal2 のモータのトルクを T_2 [Nm], Gimbal2 に対する Rotor1 の角度を $q_1(t)$ [rad], Gimbal3 に対する Gimbal2 の角度を $q_2(t)$ [rad], Gimbal4 に対する Gimbal3 の角度を $q_3(t)$ [rad], CMG の土台に対する Gimbal4 の角度を $q_4(t)$ [rad] とする. $\omega_1(t)$ [rad/s], $\omega_2(t)$ [rad/s], $\omega_3(t)$ [rad/s], $\omega_4(t)$ [rad/s] をそれぞれ Rotor1 から Gimbal4 の角速度とする. ここで, 仮想の入力 $u_1 = \dot{\omega}_1$, $u_2 = \dot{\omega}_2$, $u'_1 = \dot{\omega}_3$, $u'_2 = \dot{\omega}_4$ を定義し, 以下に制御対象システムを示す.

$$\begin{cases} u_1 = \dot{\omega}_1 \\ u_2 = \dot{\omega}_2 \end{cases}, \begin{cases} \dot{q}_3 = \omega_3 \\ \dot{\omega}_3 = u'_1 \\ \dot{q}_4 = \omega_4 \\ \dot{\omega}_4 = u'_2 \end{cases} \quad (1)$$

本研究では, ラグランジュの運動方程式により CMG のモデルを導出する.

式 (2)-(5) に Rotor1 から Gimbal4 の運動方程式を示す.

$$\begin{aligned} I_{R1y}(u_1 + u'_1 \cos q_2 - \omega_2 \omega_3 \sin q_2 + u'_2 \sin q_2 \cos q_3 \\ + \omega_2 \omega_4 \cos q_2 \cos q_3 - \omega_3 \omega_4 \sin q_2 \sin q_3) = T_1 \quad (2) \\ I_1(u_2 - u'_2 \sin q_3 - \omega_3 \omega_4 \cos q_3) + (I_2 - I_3)(\omega_3^2 \sin q_2 \cos q_2 \\ - \omega_3 \omega_4 \cos 2q_2 \cos q_3 - \omega_4^2 \sin q_2 \cos q_2 \cos^2 q_3) \\ + I_{R1y} \omega_1 (\omega_3 \sin q_2 - \omega_4 \cos q_2 \cos q_3) = T_2 \quad (3) \\ I_{G3y} u'_1 + I_{R1y}(u_1 \cos q_2 - \omega_1 \omega_2 \sin q_2 \\ + \omega_1 \omega_4 \sin q_2 \sin q_3) + I_2(u'_1 \cos^2 q_2 \\ + \omega_4^2 \sin^2 q_2 \sin q_3 \cos q_3) + I_3(u'_1 \sin^2 q_2 \\ + \omega_4^2 \cos^2 q_2 \sin q_3 \cos q_3) \\ - I_4 \omega_4^2 \sin q_3 \cos q_3 - I_1(\omega_4^2 \sin q_3 \cos q_3 \\ - \omega_2 \omega_4 \cos q_3) + (I_2 - I_3)(-\omega_2 \omega_3 \sin 2q_2 \\ + u'_2 \sin q_2 \cos q_2 \cos q_3 + \omega_2 \omega_4 \cos 2q_2 \cos q_3) = 0 \quad (4) \\ I_{G4z} u'_2 + I_{G3x} u'_2 \sin^2 q_3 + I_{G3z} u'_2 \cos^2 q_3 \\ - I_1(u_2 \sin q_3 + \omega_2 \omega_3 \cos q_3 - u'_2 \sin^2 q_3) \\ + (I_4 + I_1) \omega_3 \omega_4 \sin 2q_3 + I_2(u'_2 \sin^2 q_2 \cos^2 q_3 \\ - \omega_3 \omega_4 \sin^2 q_2 \sin 2q_3) + I_{R1y}(u_1 \sin q_2 \cos q_3 \\ + \omega_1 \omega_2 \cos q_2 \cos q_3 - \omega_1 \omega_3 \sin q_2 \sin q_3) \\ + I_3(u'_2 \cos^2 q_2 \cos^2 q_3 - \omega_3 \omega_4 \cos^2 q_2 \sin 2q_3) \\ + (I_2 - I_3)(\omega_2 \omega_4 \sin 2q_2 \cos^2 q_3 + u'_1 \cos q_2 \\ \sin q_2 \cos q_3 + \omega_2 \omega_3 \cos 2q_2 \cos q_3 \\ - \omega_3^2 \sin q_2 \cos q_2 \sin q_3) = 0 \quad (5) \end{aligned}$$

ただし, I_1, I_2, I_3, I_4 は次のように与えられる.

$$I_1 = I_{G2x} + I_{R1x}, I_2 = I_{G2y} + I_{R1y}, I_3 = I_{G2z} + I_{R1z}, \\ I_4 = I_{G3x} - I_{G3z}$$

3 制御器設計

本研究では, Rotor1 と Gimbal2 の制御を考えないため, 2 入力 4 出力のシステムを 2 入力 2 出力のシステムとして扱う. また, u_1, u_2, u'_1, u'_2 を定義する. u_1, u_2 は Rotor1, Gimbal2 の仮想的な駆動トルク, u'_1, u'_2 は Gimbal3, Gimbal4 の仮想的な駆動トルクであり, 実際の駆動トルク T_1, T_2 を u_1, u_2 及び u'_1, u'_2 の関係式から求める. まずスライディングモード制御を用いて u'_1, u'_2 がリアプノフ安定となるように求め, 次に u_1, u_2 , 最後に T_1, T_2 を求める. スライディングモードの到達条件は切換面 $S_i(x)$ ($i = 1, 2$) に対してリアプノフ関数 $V_i(x) = \frac{1}{2} S_i(x)^2$ を定義したとき $\dot{V}_i(x) = S_i(x) \dot{S}_i(x) < 0$ を満たす時である. これを満たす到達則 \dot{S}_1, \dot{S}_2 を定義し, 切換面 S_1, S_2 を一階微分したものと比較し, u'_1, u'_2 を導出する. 偏差と切換面を以下のように定義する. ただし $C_1 > 0, C_2 > 0$ である.

$$\begin{cases} e_1 = q_3 - q_{3d} \\ S_1 = C_1 e_1 + \dot{e}_1 \end{cases}, \begin{cases} e_2 = q_4 - q_{4d} \\ S_2 = C_2 e_2 + \dot{e}_2 \end{cases} \quad (6)$$

$\dot{V}_i(x) < 0$ ($i = 1, 2$) を満たす到達則 \dot{S}_1, \dot{S}_2 は以下に定義する.

$$\dot{S}_1 = -k_1 S_1 - \eta_1 \text{sgn}(S_1) \quad (k_1 > 0, \eta_1 > 0)$$

$$\dot{S}_2 = -k_2 S_2 - \eta_2 \text{sgn}(S_2) \quad (k_2 > 0, \eta_2 > 0)$$

到達則をこのように定義することにより,

$$\dot{V}_i(x) = S_i(x)\dot{S}_i(x) = -k_i S_i(x)^2 - \eta_i \text{sgn}(S_i(x))^2 |S_i(x)| = -k_i S_i(x)^2 - \eta_i |S_i(x)| < 0 \quad (k_i > 0, \eta_i > 0, i = 1, 2)$$

となる. S_1, S_2 の一階微分と到達則を比較し, u'_1, u'_2 を求める. よって,

$$u'_1 = \ddot{q}_{3d} - C_1 \dot{e}_1 - k_1 S_1 - \eta_1 \text{sgn}(S_1) \quad (7)$$

$$u'_2 = \ddot{q}_{4d} - C_2 \dot{e}_2 - k_2 S_2 - \eta_2 \text{sgn}(S_2) \quad (8)$$

である. また, チャタリング防止策として以下の変換をおこなう.

$$\text{sgn}(S_1) \Rightarrow \frac{S_1}{|S_1| + \delta_1}, \text{sgn}(S_2) \Rightarrow \frac{S_2}{|S_2| + \delta_2} \quad (\delta_1, \delta_2 > 0)$$

式 (4),(5) より下式 (9) を得る.

$$\begin{bmatrix} u_1 \\ u_2 \end{bmatrix} = F^{-1} \left(E \begin{bmatrix} u'_1 \\ u'_2 \end{bmatrix} - G \right) \quad (9)$$

ただし, $E_{2 \times 2}, F_{2 \times 2}, G_{2 \times 1}$ は $q_1 \sim q_4, \omega_1 \sim \omega_4$ の関数として与えられる.

次に, 式 (2),(3) より下式 (10) を得る.

$$\begin{bmatrix} T_1 \\ T_2 \end{bmatrix} = H \begin{bmatrix} u_1 \\ u_2 \end{bmatrix} + J \begin{bmatrix} u'_1 \\ u'_2 \end{bmatrix} + L \quad (10)$$

ただし, $H_{2 \times 2}, J_{2 \times 2}, L_{2 \times 1}$ は $q_1 \sim q_4, \omega_1 \sim \omega_4$ の関数として与えられる.

式 (6),(7),(8),(9),(10) よりトルク T_1, T_2 が求められる.

4 実験結果

以下に Gimbal3 と Gimbal4 の指令軌道を示す.

$$q_{3d} = \frac{\pi}{6(1 + e^{-t})} + \frac{\pi}{12} \quad (11)$$

$$q_{4d} = \begin{cases} 0 & (t < 2) \\ -\frac{1}{10} \sin(\frac{\pi}{2}t - \frac{\pi}{2}) + \frac{1}{10} & (2 < t < 8) \\ \frac{1}{5} & (\text{otherwise}) \end{cases} \quad (12)$$

図 2, 図 3-5 に Rotor1 の角速度の時間応答, Gimbal2, Gimbal3, Gimbal4 の角度の時間応答を示し, 図 6, 図 7 に Rotor1 と Gimbal2 のモータのトルクの時間応答を示す. 図 4,5 より Gimbal3,4 の角度が目標値に追従していることが分かる. 図 6 で Rotor1 のトルクがずれている原因としては, Rotor1 が時間が経過するにつれ加速しているためだと考えられる. また Rotor1 が加速する原因として, Gimbal3 と Gimbal4 の角度の誤差が 0 になっていないことで, 切換面が 0 に収束せず, そのため入力に 0 に収束しないことにより, Rotor1 が加速してしまうと考えられる.

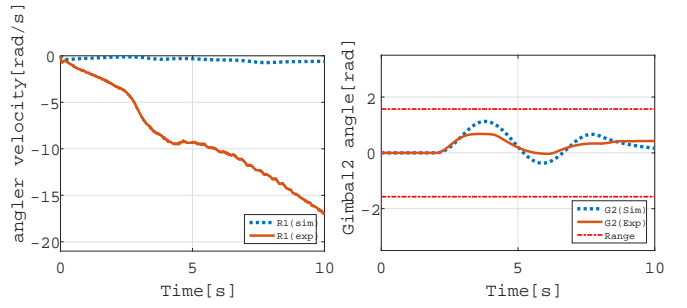


図 2 ω_1 の時間応答

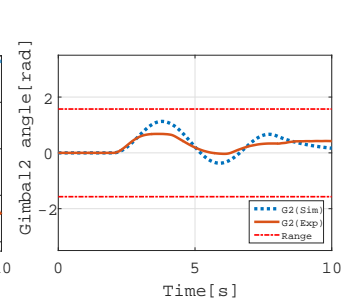


図 3 q_2 の時間応答

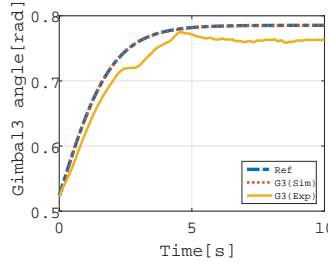


図 4 q_3 の時間応答

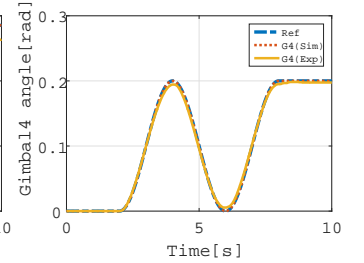


図 5 q_4 の時間応答

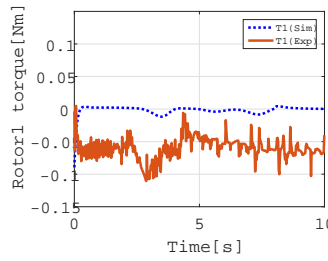


図 6 トルク T_1 の時間応答

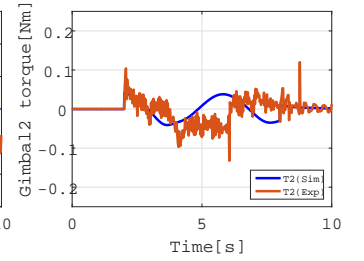


図 7 トルク T_2 の時間応答

5 おわりに

CMG に対して 4 つの仮定の駆動トルク u_1, u_2, u'_1, u'_2 を定義し, 2 段階の入力変換により駆動トルク T_1, T_2 を求め, スライディングモード制御を適用し, 実験をおこない理論の有用性を検証した.

参考文献

- [1] 塚原拓矢, 山田克彦, 莊司泰弘, 可変速 2 軸ジンバル CMG の特異点の回避/通過則について, 日本航空宇宙学会, 航空宇宙技術, Vol.15, pp.53-61, (2016)
- [2] 神谷直樹, Control Moment Gyroscope の適応追従型スライディングモード制御, 南山大学情報理工学部システム創成工学科, (2017).